# 跳水現象の解析における粗度係数のパラメータ同定

### Parameter Identification of Manning Roughness Coefficient Using Analysis of Hydraulic Jump

○ 石井 明, 中央大理工, 〒 112-8551, 文京区春日 1-13-27, E-mail: a-ki@kc.chuo-u.ac.jp 川原睦人, 中央大理工, 〒 112-8551, 文京区春日 1-13-27, E-mail: kawa@civil.chuo-u.ac.jp

Akira ISHII, Dept. of Civil Eng., Chuo Univ., Kasuga 1-13-27, Bunkyo-ku, Tokyo, 112-8551, JAPAN Mutsuto KAWAHARA, Dept. of Civil Eng., Chuo Univ., Kasuga 1-13-27, Bunkyo-ku, Tokyo, 112-8551, JAPAN

This paper is shown parameter identification of manning roughness coefficient using analysis of hydraulic jump. To calculate water flow phenomenon, the shallow water flow is employed. The quasi-linear approximation of advection velocity is given by the Adams-Bashforth formula which has second order accuracy. The improved bubble element method is applied to spatial discretization. The Sakawa-Shindo method is employed for minimization algorithm.

#### 1. はじめに

## 2. 状態方程式

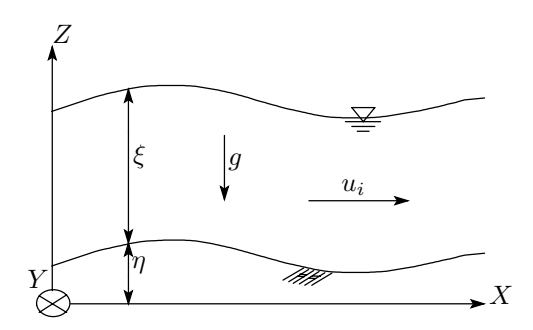


Fig.1 XYZ-coordinate

状態方程式として浅水長波方程式を用いる. 浅水長波方程式の運動方程式と連続式は次のように表わされる.

#### 〈運動方程式〉

$$\dot{u}_i + u_j u_{i,j} + g(\xi + \eta)_{,i} - \nu(u_{i,j} + u_{j,i})_{,j} + f u_i = 0$$

#### 〈連続式〉

$$\dot{\xi} + \xi_{,i} u_i + \xi u_{i,i} = 0$$

ここで  $u_i$  は流速,  $\xi$  は水位変動量,  $\eta$  は河床標高, g は重力加速度,  $\nu$  は渦動粘性係数である. また摩擦速度  $u_*$  を 用いて渦動粘性係数  $\nu$  および運動方程式中の f を表わす

と次式のようになる.

$$\nu = \frac{k_l}{6} \, u_* \, \xi, \qquad f = \frac{u_*}{\xi}$$

ここで $k_l$  は カルマン定数であり、摩擦速度 $u_*$  は次式のように定義される.

$$u_* = \frac{g \, n^2 \sqrt{u_k u_k}}{\xi^{1/3}}$$

ここで n はマニングの粗度係数である.

#### 3. 空間方向の離散化

#### 3.1 気泡関数要素

空間方向の離散化については、通常の Galerkin 法に従って行なうものとする、運動方程式および連続式の流速と水位変動量にたいして気泡関数要素による同次補間を用いるものとする.

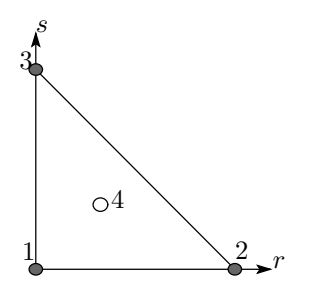
$$u_{i} = \Phi_{1} u_{i1} + \Phi_{2} u_{i2} + \Phi_{3} u_{i3} + \Phi_{4} \tilde{u}_{i4}$$

$$\tilde{u}_{i4} = u_{i4} - \frac{1}{3} (u_{i1} + u_{i2} + u_{i3})$$

$$\xi = \Phi_{1} \xi_{1} + \Phi_{2} \xi_{2} + \Phi_{3} \xi_{3} + \Phi_{4} \tilde{\xi}_{4}$$

$$\tilde{\xi}_{4} = \xi_{4} - \frac{1}{3} (\xi_{1} + \xi_{2} + \xi_{3})$$

$$\Phi_{1} = 1 - r - s, \quad \Phi_{2} = r, \quad \Phi_{3} = s, \quad \Phi_{4} = \phi_{e}$$



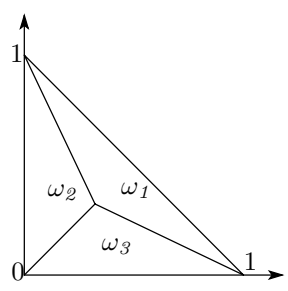


Fig.2 Bubble function element

Fig.3 Subdivision of element

ここで  $\phi_e$  は気泡関数であり、 $\operatorname{Fig.2}$  に示すように三角形の

要素領域をその重心点を用いて3つの小三角形 $\omega$ に分割する(Fig.3). 気泡関数はこの小三角形毎にアイソパラメトリック座標系r,sを用いて次のように定義される.

$$\phi_e = \begin{cases} 3 (1 - r - s) & \text{in } \omega_1 \\ 3 r & \text{in } \omega_2 \\ 3 s & \text{in } \omega_3 \end{cases}$$

#### 3.2 Improved Bubble Element 法

気泡関数は静的縮約という操作を行なうことにより重心点を消去することができる。その場合に気泡関数により導出されるものは安定化有限要素法の定式化によって導かれるものと類似した形になることがわかっている [2]. そのときに気泡関数により導かれる安定化パラメータは次のようなものである.

#### 〈運動方程式〉

 $\tau_{eBu_i} =$ 

$$\frac{\left\langle \phi_{e}, 1 \right\rangle_{\Omega_{e}}^{2} A_{e}^{-1}}{\frac{1}{\Delta t} \parallel \phi_{e} \parallel_{\Omega_{e}}^{2} + \frac{1}{2} [(\nu + \tilde{\nu})2 \parallel \phi_{e,j} \parallel_{\Omega_{e}}^{2} - f \parallel \phi_{e} \parallel_{\Omega_{e}}^{2}]}$$

〈連続式〉

$$\tau_{eB\eta} = \frac{\left\langle \phi_e, 1 \right\rangle_{\Omega_e}^2 A_e^{-1}}{\frac{1}{\Delta t} \parallel \phi_e \parallel_{\Omega_e}^2 + \frac{1}{2} [\tilde{\nu} \parallel \phi_{e,j} \parallel_{\Omega_e}^2]}$$

ここで $,\tilde{\nu}$  は安定化作用に対する制御パラメータであり、この値は安定化有限要素法において用いられる次式と等価になるように決定する.

#### 〈運動方程式〉

$$\tau_{eBu_i} = \left(\frac{1}{2}\,\tau_{es}^{-1} + \frac{\alpha}{\Delta t}\right)^{-1}$$

$$\tau_{es}^{-1} = \left[ \left( \frac{2 \mid U_i \mid}{h_e} \right)^2 + \left( \frac{4\nu}{h_e^2} \right)^2 \right]^{\frac{1}{2}}$$

〈連続式〉

$$\tau_{eB\eta} = \left(\frac{1}{2}\tau_{es}^{-1} + \frac{\alpha}{\Delta t}\right)^{-1}, \quad \tau_{es}^{-1} = \frac{2 \mid U_i \mid}{h_e}$$

ここで,

$$\alpha = \frac{A_e \parallel \phi_e \parallel_{\Omega_e}^2}{\langle \phi_e, 1 \rangle_{\Omega_e}^2}, \ h_e = \sqrt{2A_e}, \ \mid U_i \mid = \sqrt{u^2 + v^2 + g\xi}$$

である. また  $\Omega_e$  は要素領域,  $\langle\, u,v\,
angle_{\Omega_e}=\int_{\Omega_e}uv\,d\Omega,$ 

 $\parallel u_i \parallel_{\Omega_e}^2 = \langle \, u,u \, \rangle_{\Omega_e}, \ A_e = \int_{\Omega_e} d\Omega$  である. 気泡関数要素の積分は次のようになる.

$$\langle \phi_e, 1 \rangle_{\Omega_e} = \frac{A_e}{3}, \quad \| \phi_{e,j} \|_{\Omega_e}^2 = 3A_e g, \quad \| \phi_e \|_{\Omega_e}^2 = \frac{A_e}{6}$$

$$g = | \Phi_{\alpha,x} |^2 + | \Phi_{\alpha,y} |^2, \quad \alpha = 1 \sim 3$$

#### 4. パラメータ同定

#### 4.1 評価関数

パラメータ同定は評価関数を最小にする最適な値を見つけるものとして定義される. 評価関数は次のように定義される.

$$J = \frac{1}{2} \int_{t_0}^{t_f} (\xi - \xi_{obj})^T Q(\xi - \xi_{obj}) dt$$

ここで,Q は 1.00 の重み定数行列,  $\xi$  は水位変動量, $\xi_{obj}$  は目的あるいは観測の水位変動量である.

#### 4.2 随伴方程式

状態方程式を有限要素方程式に書き直すと次のようになる.

#### 〈運動方程式〉

$$M_{\alpha\beta} \dot{u}_{i\beta} + \bar{u}_j S_{\alpha\beta,j} u_{i\beta} + g S_{\alpha\beta,i} (\xi + \eta)_{\beta}$$
$$+ \nu H_{\alpha\beta,jj} (\tilde{\nu}_{ij}) u_{i\beta} + \nu H_{\alpha\beta,ji} (\tilde{\nu}_{ij}) u_{j\beta}$$
$$+ f M_{\alpha\beta} u_{i\beta} = 0$$

#### 〈連続式〉

$$M_{\alpha\beta}\dot{\xi}_{\beta} + \bar{u}_{i} S_{\alpha\beta,i} \xi_{\beta} + \bar{\xi} S_{\alpha\beta,i} u_{i\beta} = 0$$

拘束条件つきの評価関数の最小化問題にたいしてラグランジュ乗数法を適用する. 状態方程式の有限要素方程式とラグランジュ乗数によって評価関数は拡張される. 拡張評価関数は次式にように表わせる.

$$J^* = \int_{t_0}^{t_f} \left\{ H - \lambda_{u_i}^T M_{\alpha\beta} \dot{u}_{i\beta} - \lambda_{\xi}^T M_{\alpha\beta} \dot{\xi}_{\beta} \right\} dt$$

ここで, $\lambda_{u_i}$  は流速にたいしてのラグランジュ乗数であり,  $\lambda_{\xi}$  は水位変動量にたいしてのラグランジュ乗数である. またここで用いている H はハミルトニアンであり, 次式のように定義されている.

$$H = \frac{1}{2} (\xi - \xi_{obj})^T Q (\xi - \xi_{obj})$$

$$+ \lambda_{u_i}^T \left\{ -\bar{u}_j S_{\alpha\beta,j} u_{i\beta} - g S_{\alpha\beta,i} (\xi + \eta)_{\beta} - \nu H_{\alpha\beta,jj} (\tilde{\nu}_{ij}) u_{i\beta} - \nu H_{\alpha\beta,ji} (\tilde{\nu}_{ij}) u_{j\beta} - f M_{\alpha\beta} u_{i\beta} \right\}$$

$$+ \lambda_{\xi}^T \left\{ -\bar{u}_i S_{\alpha\beta,i} \xi_{\beta} - \bar{\xi} S_{\alpha\beta,i} u_{i\beta} \right\}$$

拡張評価関数の第一変分をとり, 拡張評価関数の最小値を求める.  $\delta J^*=0$  より随伴方程式と横断性の条件が導かれる. 求められた随伴方程式と横断性の条件を以下に示す.

#### 〈随伴方程式〉

$$M_{\alpha\beta} \lambda_{u_{i\beta}} = -\frac{\partial H}{\partial u_i}, \quad M_{\alpha\beta} \lambda_{\xi_{\beta}} = -\frac{\partial H}{\partial \xi}$$

〈横断性の条件〉

$$\lambda_{u_i} = \lambda_{\xi} = 0$$
 at  $t = t_{tf}$ 

#### 5. 最小化手法

#### 5.1 Sakawa-Shindo 法

最小化手法として Sakawa-Shindo 法を用いる. この手 法では拡張評価関数にペナルティ項を加えた修正評価関 数が導入される. 修正評価関数は次式にように表わせる.

$$K^{(l)} = J^{*(l)} + \frac{1}{2} \left( n^{(l+1)} - n^{(l)} \right)^T c^{(l)} \left( n^{(l+1)} - n^{(l)} \right)$$

ここでl は最小化の反復回数,n はマニングの粗度係数 $,c^{(l)}$ は重み係数行列である. 停留状態である  $\delta K^{(l)}=0$  より

$$n^{(l+1)} = n^{(l)} + c^{-(l)} \int_{t_0}^{t_f} \left(\frac{\partial H}{\partial n}\right)^{(l)} dt$$

ここで

$$\begin{split} \frac{\partial H}{\partial n} &= \frac{1}{\partial n} \left\{ -\lambda_{u_i}^T \nu H_{\alpha\beta,jj}(\tilde{\nu}_{ij}) u_{i\beta} \right. \\ &\left. -\lambda_{u_i}^T \nu H_{\alpha\beta,ji}(\tilde{\nu}_{ij}) u_{j\beta} - \lambda_{u_i}^T f M_{\alpha\beta} u_{i\beta} \right\} \end{split}$$

である. これらの式がマニングの粗度係数を求める式と なる. また重み係数行列  $c^{(0)}$  は  $J^{(1)} \leq J^{(0)}$  となるように 指定した.

#### アルゴリズム 5.2

Sakawa-Shindo 法のアルゴリズムを以下に示す.

- 1. l=0 として初期粗度係数  $n^{(0)}$  を設定する.
- 2. 状態量  $u_i^{(l)}, \xi^{(l)}$  を状態方程式より求める.
- 3. 初期評価関数  $J^{(l)}$  を求める. 4. ラグランジュ乗数  $u_i^{*(l)}, \xi^{*(l)}$  を随伴方程式より求め
- 5. マニングの粗度係数  $n^{(l+1)}$  を求める. 6. 誤差ノルム  $\mathbf{e} = \parallel n^{(l+1)} n^{(l)} \parallel$ , を計算し, もし  $\mathbf{e} < \epsilon$  なら計算を終了する. そうでなければ次のステッ
- 7. 状態量  $u_i^{(l+1)}, \xi^{(l+1)}$  を状態方程式より求める.
- 8. 評価関数  $J^{(l+1)}$  を求める
- 9. 重み行列  $c^{(l)}$  を次のように修正する.  $J^{(l+1)} < J^{(l)}$  ならば  $c^{(l+1)} = 0.9c^{(l)}$  としてステップ 4へ、そのほかは  $c^{(l+1)} = 2.0c^{(l)}$  としてステップ 5 へ、

#### 6. 時間方向の離散化

時間方向の離散化については、安定性に優れ時間増分 を大きくとれる陰解法である Crank-Nicolson 法を適用す

#### 〈運動方程式〉

$$\frac{1}{\Delta t} \left( M_{\alpha\beta} u_{i\beta}^{n+1} - M_{\alpha\beta} u_{i\beta}^{n} \right) 
+ \bar{u}_{j}^{*} S_{\alpha\beta,j} u_{i\beta}^{n+\frac{1}{2}} + g S_{\alpha\beta,i} (\xi + \eta)_{\beta}^{n+\frac{1}{2}} 
+ \nu H_{\alpha\beta,jj} (\tilde{\nu}_{ij}) u_{i\beta}^{n+\frac{1}{2}} + \nu H_{\alpha\beta,ji} (\tilde{\nu}_{ij}) u_{j\beta}^{n+\frac{1}{2}} 
+ f M_{\alpha\beta} u_{i\beta}^{n+\frac{1}{2}} = 0$$

#### 〈連続式〉

$$\frac{1}{\Delta t} \left( M_{\alpha\beta} \, \xi_{\beta}^{n+1} - M_{\alpha\beta} \, \xi_{\beta}^{n} \right) 
+ \bar{u}_{i}^{*} \, S_{\alpha\beta,i} \, \xi_{\beta}^{n+\frac{1}{2}} + \bar{\xi}^{*} \, S_{\alpha\beta,i} \, u_{i\beta}^{n+\frac{1}{2}} = 0$$

ここで

$$\begin{split} u_{i\beta}^{n+\frac{1}{2}} &= \frac{1}{2} \left( \, u_{i\beta}^{n+1} + u_{i\beta}^{n} \, \right), \quad \xi_{\beta}^{n+\frac{1}{2}} = \frac{1}{2} \left( \, \xi_{\beta}^{n+1} + \xi_{\beta}^{n} \, \right) \\ \\ \bar{u}_{i}^{*} &= \frac{1}{2} \left( \, 3 \, u_{i}^{n} - u_{i}^{n-1} \, \right), \quad \bar{\xi}^{*} = \frac{1}{2} \left( \, 3 \, \xi^{n} - \xi^{n-1} \, \right) \end{split}$$

である. 移流項の線形近似としている  $ar{u}^*$ ,  $ar{\xi}^*$  は 2 次精度 Adams-Bashforth 公式である. このことから得られたスキームは時間方向に関して完全2次精度を有している.

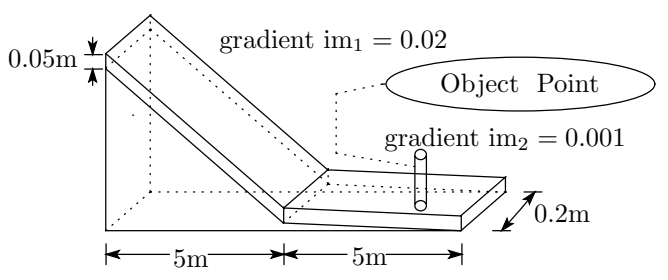
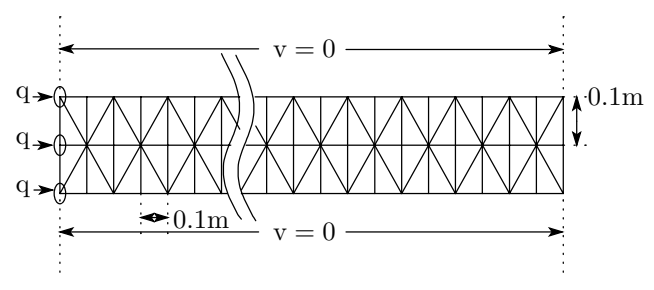


Fig.4 Analytical model



Boundary condition Fig.5

本研究ではショックキャプチャリング項を状態方程式 の運動方程式と連続式にそれぞれ適用するものとする数 値解析例として単純矩形水路内の開水流れでの跳水現象 の解析を用いる. 跳水現象は摩擦の効果がなければ起こ りえない現象であり、摩擦の効果が常流側と射流側の双 方の水深にたいして大きな影響を及ぼすものである. 本研究では摩擦の効果の強さをマニングの粗度係数の値によるものとする. Fig.4 に示すように水路長を 10m とし、 上流から  $5\mathrm{m}$  までを急勾配  $(\mathrm{im}_1{=}0.02)$ , それ以降を緩勾 配 (im<sub>2</sub>=0.001) とする. 接点数は 303, 要素数は 400 と する. 初期条件は全領域で  $\xi = 0.05m$ , u =は 0.0m/s, v=0.0m/s とする. 境界条件として上流端で単位幅当た りの流量  $q=0.05~m^3/s$  を与える. また時間増分量  $\Delta$   ${
m t}$  $=0.02(\mathrm{sec})$ , 時間ステップ数  $\mathrm{N}=3000$  とする. Fig.8 から Fig.11 にマニングの粗度係数を 0.015 とした時の計算

和来でホッ・ パラメータ同定を行なうにあたって目的のマニングの 粗度係数を 0.015 とする. このマニングの粗度係数 0.015 を用いて計算された水で変動量と目的の水位変動量とす る. 目的のマニングの粗度係数の値 0.015 を得るために Fig.4 に示すように目的点を設定する. 初期マニングの粗 度係数の値を 0.030 と設定し,Sakawa-Shindo 法のアルゴ リズムに従ってマニングの粗度係数の値を計算する、結 果を Fig.6 と Fig.7 に示す.Fig.6 は反復回数毎の評価関数 の値を示しており、Fig.7 は反復回数毎のマニングの粗度 係数の値を示している.この2つのグラフから見てわかるように,評価関数が減少してほぼ0に収束したときに, 目的のマニングの粗度係数の値である 0.015 を得ること ができた.

#### おわりに

本研究では評価関数の最小化問題にラグランジュ乗数 法を用い、最小化手法に Sakawa-Sindo 法を適用してマニ

ングの粗度係数のパラメータ同定を行なった. 結果として評価関数が減少し,目的のマニングの粗度係数の値を得ることができた. しかし,本研究の問題点として目的点が1つであるということと,ショックキャプチャリング項を定数として扱っていることがあげられる. 今後はこれらの問題点が検討課題である.

#### 参考文献

- 1. 松本純一, 川原睦人 MINI 要素を用いた流体-構造連成問題における安定形状同定 応用力学論文集, vol.3 (2000 年 8 月), pp263-274
- 2. 松本純一,川原睦人 線形型気泡関数を用いた非圧縮 性粘性流体解析と適応型有限要素法 応用力学論文集, vol.2 (1999 年 8 月), pp223-232
- 3. 松本純一, 梅津剛, 川原睦人 陰的有限要素法による 浅水長波流れと河床変動解析 応用力学講演論文集, vol.1 (1998), pp263-272.
- 4. 松本純一, 梅津剛 矩形水路流れの有限要素法解析と 跳水現象形成のメカニズムについての考察 第7回 計算力学シンポジウム, pp217-222
- 5. 清水康行, 藤田睦博, 平野道夫 連続床止め工を有する 複断面河道における流れと河床変動の計算 水工学論 文集, 第 43 巻 (1998), pp79-84.
- 6. 本間仁, 安芸的一編 物部水理学, 岩波書店,1962 年

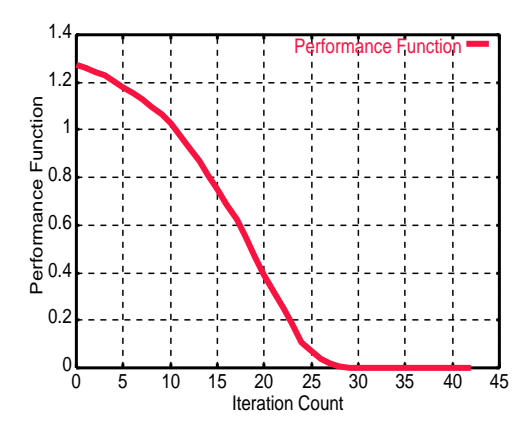


Fig.6 Performance Function



Fig.7 Manning roughness coefficient

